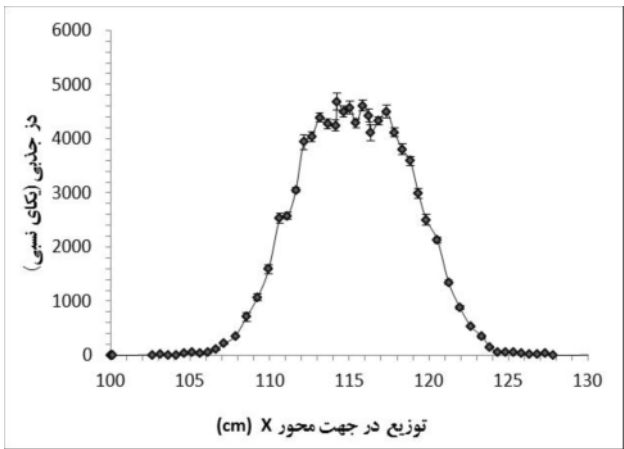


شکل ۶: نمودار تغییرات دز جذبی بر حسب محل قرارگیری قلب

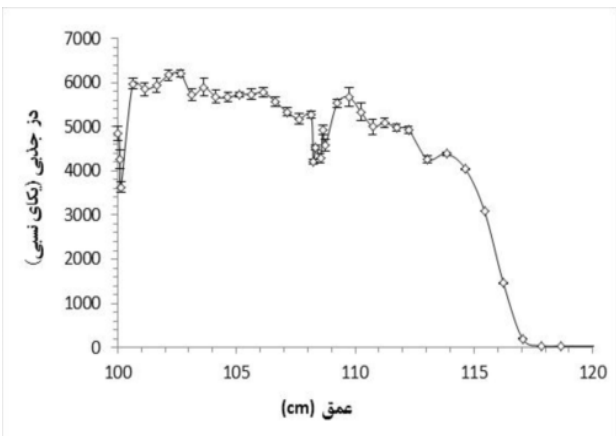


شکل ۷: توزیع دز در جهت عمود بر باریکه الکترون‌ها

۳.۴. اثر ضخامت قلب بر مقدار دز جذبی

شکل (۸) تغییرات مقدار دز جذبی در مقابل ضخامت قلب کالریمتر را نمایش می‌دهد. در این نمودار، جسم جاذب یا همان قلب کالریمتر با ضخامت‌های گوناگون در کالریمتر قرار گرفته و مقدار دز جذبی مربوط محاسبه شده است. چنان‌که ملاحظه می‌شود، مقدار دز جذبی در قلب با افزایش ضخامت قلب بیشتر شده و در ۲ mm به بیشترین مقدار خود می‌رسد؛ لذا افزایش بیش از اندازه قلب، تنها به بزرگ‌تر شدن بی‌نتیجه کالریمتر منجر می‌شود. پس ضخامت ۲ mm بهترین انتخاب برای ضخامت قلب کالریمتر به علت بیشترین مقدار دز جذبی در قلب خواهد بود که با نتایج تجربی متشرشده توسط سایر پژوهشگران نیز کاملاً سازگاری دارد [۶]. نتایج مترسم در شکل، همگی حاصل شبیه‌سازی است و منظور از نتایج تجربی، به مرجع آورده شده اشاره دارد؛ زیرا در ضخامت‌های کمتر، مقدار قابل اندازه‌گیری بهشت افت می‌کند و باعث کاهش حساسیت کالریمتر

مشابه سایر ذرات باردار، انرژی خود را به صورت تحریک یا یوشن از دست می‌دهند؛ نتیجه این عمل واگذاری انرژی یا دز جذبی به محیط است. فواید فیزیکی باریکه‌های مختلف از روی مشخصات توزیع دز-عمق و پراکندگی به دست می‌آید [۸]. شکل (۵) منحنی تغییرات دز-عمق در راستای ورود باریکه الکترون‌ها به داخل دستگاه کالریمتر در محیط فوم پلی استایرن را نمایش می‌دهد. با استفاده از این نتیجه ملاحظه می‌شود که تا عمقی حدود ۱۰ cm دز جذبی تقریباً ثابت می‌ماند که به دلیل کمبودن چگالی فوم پلی استایرن حاصل شده و لذا انتخاب محل قلب کالریمتر در این فاصله، تغییر چندانی در پاسخ ایجاد نخواهد کرد.



شکل ۵: منحنی تغییرات دز-عمق در راستای باریکه الکترون‌ها

شکل (۶) نمودار تغییر دز جذبی قلب در اثر تغییر موقعیت مکانی آن در محیط پلی استایرن را نمایش می‌دهد. در این شکل، قلب کالریمتر در نقطه میانی فوم پلی استایرن که از دو طرف با ۳۵ mm فوم پلی استایرن پوشیده شده، نشان داده شده است. چنان‌که ملاحظه می‌شود، این مکان بهترین محل قرارگیری قلب در ناحیه‌ای با بیشینه مقدار دز است که در مرز ناحیه تعادل الکترونی قرار دارد.

شکل (۷) توزیع دز جذبی در راستای عمود بر باریکه الکترون در عمقی از کالریمتر را که قلب در آنجا واقع شده است، نمایش می‌دهد. با توجه به وجود تقارن هندسی و مواد در جسم شبیه‌سازی شده، تغییرات کاملاً به شکل نرمال بوده و بیشینه در محدوده است که مرکز باریکه در آن قرار دارد. همچنین، پهنای نمودار در عمق اشاره شده، قلب کالریمتر (۹ cm) را به طور کامل پوشش می‌دهد.

۶. مراجع

- Report CIRM 42 National Physical Laboratory, Teddington, 2000.
- [5] M.R. McEwen, S. Duane, "A Portable Calorimeter for measuring absorbed dose in the radiotherapy clinic", *Phys. Med. Biol.*, 45, 3675-3601, 2000.
- [6] M.R. McEwen, S. Duane, "Development of a Portable Graphite Calorimeter for Photons and Electrons", NPL report CIRM 18, National Physical Laboratory, Teddington, 1998.
- [۷] فرهود ضیائی، طراحی هدف (Target) مبدل الکترون‌های پرتو رزی به پرتوهای ایکس و روش‌های دزیمتری، پایان‌نامه دکتری، دانشگاه صنعتی امیرکبیر، دانشکده فیزیک و علوم هسته‌ای، ۱۳۸۱.
- [8] W. Strydom, W. Parker, M. Olivares, "Electron beams: physical and clinical aspects", Department of Medical Physics, Medical University of Southern Africa, Pretoria, South Africa, IAEA publication 2007.
- [۱] سید محمد شوشتیریان، فیزیک پزشکی، نشر اشراقیه، چاپ سوم، تهران، ۱۳۸۱.
- [2] M.R. McEwen, S. Duane, "Primary standards of absorbed dose for electron beams", Ionizing Radiation Standards, Institute for National Measurement Standards, National Research Council of Canada, Ottawa, Canada Acoustics and Ionising Radiation, National Physical Laboratory, Teddington, 2008.
- [3] M.R. McEwen, D.T. Burns, A.J. Williams, "The use of thermistors in the NPL electron beam calorimeter", NPL Report 2RSA (EXT) 41, (National Physical Laboratory, Teddington, 1993).
- [4] J. Daures, A. Ostrowsky, P. Gross, J.P. Jeannot, J. Gouriou, "Calorimetry for absorbed-dose measurements at BNM-LNHB", Recent Advances in Calorimetric Absorbed Dose Standards, NPL